

13. Selishchev S., Telyshev D. Ventricular assist device Sputnik: Description, technical features and characteristics // Trends in Biomaterials and Artificial Organs. 2015. Vol. 29. № 3. PP. 207-210.
14. Selishchev S.V., Telyshev D.V. Optimisation of the Sputnik-VAD design // The International Journal of Artificial Organs. 2016 (в печати).
15. Menter F.R. Two-Equation Eddy-Viscosity Turbulence Models for Engineering Applications // The American Institute of Aeronautics and Astronautics Journal. 1994. Vol. 32. № 8. PP. 1598-1605.
16. <https://uiuc-cse.github.io/me498cm/fa15/lessons/fluent/refs/ANSYS%20Fluent%20Theory%20Guide.pdf>.
17. Fraser K.H., Zhang T., Taskin M.E. et al. A quantitative comparison of mechanical blood damage parameters in rotary ventricular assist devices: Shear stress, exposure time and hemolysis index // Journal of Biomechanical Engineering. 2012. Vol. 134. № 8.
18. Thamsen B., Blumel B., Schaller J. et al. Numerical analysis of blood damage potential of the HeartMate II and HeartWare HVAD rotary blood pumps // Artificial Organs. 2015. Vol. 39. № 8. PP. 651-659.

Дмитрий Викторович Тельшев,  
канд. техн. наук, доцент,  
Максим Валерьевич Денисов,  
инженер,  
Сергей Васильевич Селищев,  
д-р физ.-мат. наук, профессор,  
зав. кафедрой,  
кафедра биомедицинских систем,  
Национальный исследовательский университет «МИЭТ»,  
г. Москва, г. Зеленоград,  
e-mail: telyshev@bms.zone

**Д.В. Тельшев**

## Исследование чувствительности роторных насосов крови к нагрузке в статических условиях

### Аннотация

Представлено исследование статических расходно-напорных характеристик шести роторных насосов крови: «Incor» («BerlinHeart», Германия), «HeartMate II» («Thoratec Corporation», США), «Спутник» и «Спутник 2» (АО «Зеленоградский инновационно-технологический центр», Россия), «Heartware HVAD» («Heartware International, Inc.», США) и «Duraheart» («Terumo», Япония). Получены результаты расчета чувствительности к пред- и постнагрузке для каждого из шести насосов. Показано, что чувствительность к преднагрузке для роторных насосов крови снижается при переходе в область максимального кровотока. Отмечается, что чувствительность к преднагрузке определяется не столько типом насоса (центробежный, осевой), сколько геометрией его проточной части.

### Введение

Имплантируемые роторные насосы крови (РНК), предназначенные для частичного или полного замещения функции левого желудочка, помимо конструктивных особенностей [1], обладают уникальными расходно-напорными характеристиками. В литературных источниках приводятся различные варианты сравнения насосов с целью определения их влияния на эффективность разгрузки желудочка сердца и «физиологичность» поддержки кровообращения [2], [3]. Одним из вариантов такого сравнения является исследование формы расходно-напорных кривых и чувствительности к изменениям в пред- и постнагрузке [2], [3].

Понятие чувствительности к преднагрузке применительно к аппаратам вспомогательного кровообращения происходит от взаимосвязи между давлением и ударным объемом желудочка сердца. Эту взаимосвязь называют законом Франка-Старлинга [4], согласно которому по мере уменьшения преднагрузки ударный объем сердца также уменьшается. Для РНК снижение преднагрузки приводит к возрастанию перепада давлений между входом и выходом насоса, что, в свою очередь, снижает скорость кровотока через РНК. Эффективность данного вида регуляции определяется таким параметром, как чувствительность РНК к нагрузке.

Увеличение чувствительности к преднагрузке играет важную роль в разгрузке желудочка. Если насос имеет высокую чувствительность к преднагрузке, он также имеет высокую эффективность снижения расхода при уменьшении давления в желудочке. В свою очередь, это снижает риск возникновения коллапса желудочка и необходимость в регуляции скорости [5], [6].

Целью представленного исследования является анализ работы РНК посредством определения их реакции на изменения в преднагрузке и сравнение этих насосов в статических условиях.

### Методы

Четыре разновидности осевых насосов: «Incor» («BerlinHeart», Берлин, Германия) [7], «HeartMate II» [8] («Thoratec Corporation», Плезантон, Калифорния, США), «Спутник» [9], [10] и «Спутник 2» [10] (АО «Зеленоградский инновационно-технологический центр», Москва, Россия) – были отобраны вместе с двумя центробежными насосами, такими как «Heartware HVAD» («Heartware International, Inc.», Фрамингем, Массачусетс, США) [11] и «Duraheart» («Terumo», Токио, Япония) [12].

Информация о чувствительности РНК к пред- и постнагрузке содержится в расходно-напорных характеристиках насосов. Выражения расходно-напорных характеристик для «Duraheart», «HeartMate II», «Heartware HVAD» и «Incor» были получены из [13]. Для РНК «Спутник» и «Спутник 2» расходно-напорные характеристики были получены при помощи гидродинамического стенда [10], далее применялась процедура полиномиальной интерполяции для получения зависимости перепада давления от расхода. В табл. 1 приведены полиномиальные уравнения, определяющие расходно-напорные характеристики исследуемых РНК.

Для РНК «Duraheart», «Heartware HVAD», «Incor» и «HeartMate II» скорости вращения роторов составляли 2000, 3000, 8000 и 10000 об/мин соответственно. Для РНК «Спутник» и «Спутник 2» была взята скорость, равная 8000 об/мин (рис. 1). Перепады давлений, полученные из расходно-напор-

ных характеристик на интервале 0...7 л/мин, были перенесены в полиномиальные уравнения, рассчитанные с использованием Microsoft Excel 2010. В табл. 1 приведены полиномиальные уравнения с точностью по  $R^2$  не ниже 0,995. Данные уравнения использовались для расчета значений пред- и постнагрузки согласно [13].

## Результаты

В рассматриваемой работе были получены зависимости расхода от преднагрузки и чувствительности к преднагрузке от расхода для всех шести РНК. В работе использовались два значения постнагрузки: 60 и 100 мм рт. ст. Значения преднагрузки выбирались в диапазоне от -5 до 30 мм рт. ст. Разность давлений определялась согласно формуле [13]

$$\text{Постнагрузка} = \text{Разность давлений} + \text{Преднагрузка}.$$

Зная разность давлений из полиномиального выражения (табл. 1), строили зависимость расхода от преднагрузки (рис. 2).

Для построения зависимости чувствительности к преднагрузке от расхода (рис. 3) вычислялись значения чувствительности к преднагрузке на всем интервале расходов [13]

$$PS = \frac{Q_{pul} - Q_{pll}}{P_{ul} - P_{ll}},$$

где  $PS$  – чувствительность к преднагрузке, л·мин<sup>-1</sup>·мм рт. ст.<sup>-1</sup>;  $Q$  – расход, л/мин;  $P$  – преднагрузка, мм рт. ст.;  $ul$  – верхний предел;  $ll$  – нижний предел.

Полученные результаты показывают, что насосы «Спутник» и «Спутник 2» демонстрируют лучшую чувствительность к преднагрузке по сравнению с другими РНК при постнагрузках 60 и 100 мм рт. ст. Насос «Incor» имеет самую низкую чувствительность к преднагрузке (около 0,04 л·мин<sup>-1</sup>·мм рт. ст.<sup>-1</sup>), т. е. его расход в наименьшей степени зависит от изменения преднагрузки. Это объясняется крутизной его расходно-напорной характеристики (рис. 1).

Максимальное значение чувствительности к преднагрузке показал насос «Спутник 2»:  $PS = 0,34$  л·мин<sup>-1</sup>·мм рт. ст.<sup>-1</sup>, что

Таблица 1

### Полиномиальные уравнения, определяющие расходно-напорные характеристики исследуемых насосов

Наименование	Скорость, об/мин	Полином	$R^2$
Duraheart	2000	$y = -0,018x^3 - 0,698x^2 - 0,373x + 124,42$	0,999
Heartmate II	10000	$y = 0,035x^4 - 0,75x^3 + 5,613x^2 - 26,08x + 139,63$	0,998
HVAD	3000	$y = 0,014x^4 - 0,145x^3 - 0,747x^2 + 1,2x + 122,29$	0,999
Incor	8000	$y = 0,03x^3 - 1,733x^2 - 12,079x + 158,81$	0,999
Спутник	8000	$y = 0,024x^3 - 0,041x^2 - 7,558x + 117,567$	0,999
Спутник 2	8000	$y = 0,0067x^4 + 0,085x^3 - 1,39x^2 - 2,79x + 118,37$	0,999

$y$  – перепад давления, мм рт. ст.;  $x$  – расход, л/мин;  $R^2$  – коэффициент детерминации ( $R^2 = 1$  – идеальная точность).

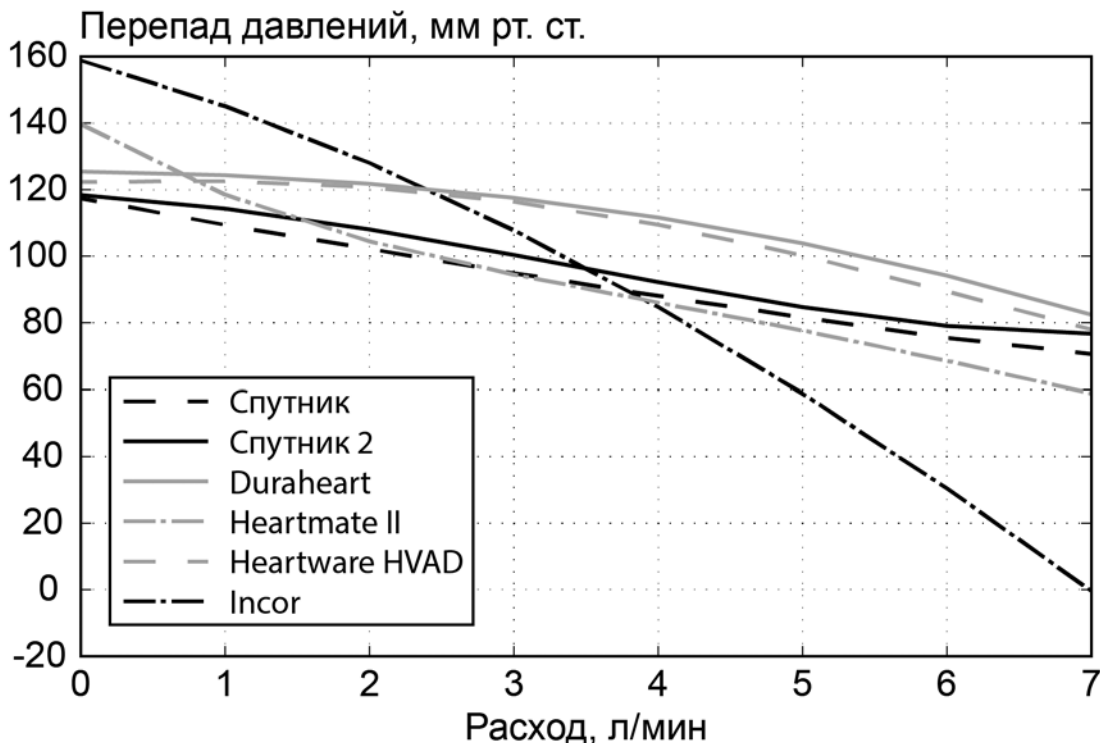


Рис. 1. Расходно-напорные характеристики для насосов: «Duraheart» – при 2000 об/мин (сплошная серая линия); «Incor» – при 8000 об/мин (штрих-пунктирная черная линия); «Heartware HVAD» – при 3000 об/мин (пунктирная серая линия); «Спутник» – при 8000 об/мин (пунктирная черная линия); «Спутник 2» – при 8000 об/мин (сплошная черная линия); «Heartmate II» – при 10 000 об/мин (штрих-пунктирная серая линия)

объясняется пологостью его расходно-напорной характеристики в области кровотока выше 6 л/мин. Среднее значение чувствительности всех насосов составило  $0,13 \text{ л} \cdot \text{мин}^{-1} \cdot \text{мм рт. ст.}^{-1}$ , что ниже среднего значения для сердца ( $0,241 \pm 0,04$ ) [13], [14].

Как можно видеть из рис. 3, чувствительность к преднагрузке при постнагрузке 60 мм рт. ст. убывает при возрастании кровотока для всех исследуемых РНК, что связано с потерями в РНК, вызванными такими эффектами, как трение жидкости, образование обратных токов, низкая эффективность гидравлической машины.

Так, чувствительность к преднагрузке для центробежных насосов «DuraHeart» и «Heartware HVAD» при переходе от постнагрузки 60 мм рт. ст. к постнагрузке 100 мм рт. ст. значительно уменьшается (от 0,09 до 0,05  $\text{л} \cdot \text{мин}^{-1} \cdot \text{мм рт. ст.}^{-1}$ ), что связано с особенностью расходно-напорных характеристик центробежных насосов, показывающих значительно более пологую форму в зонах низких расходов по сравнению с областями высоких расходов [15].

Также следует отметить, что центробежные РНК «DuraHeart» и «Heartware HVAD» обладают схожей реакцией на изменение пред- и постнагрузки, что объясняется незначительными различиями в форме их расходно-напорных характеристик.

Оевые РНК «Incor», «HeartMate II», «Спутник» и «Спутник 2» показали значительные расхождения в реакции на изменение пред- и постнагрузки, позволяющие сделать вывод о том, что весомый вклад в форму расходно-напорной характеристики и чувствительность РНК к нагрузке оказывает геометрия проточной части.

## Заключение

Несмотря на то что современные РНК являются эффективными средствами борьбы с острой формой сердечной недостаточности, их чувствительность к преднагрузке в несколько раз ниже по сравнению с сердцем.

Расходно-напорные характеристики содержат всю необходимую информацию для оценки чувствительности РНК к пред- и постнагрузке, поэтому при проектировании и разработке новых РНК необходимо уделять особое внимание форме их расходно-напорных характеристик.

Оптимизация чувствительности к пред- и постнагрузке позволит повысить «физиологичность» течения крови через РНК и снизить риск коллапса желудочка сердца.

*Исследование выполнено за счет гранта Российского научного фонда (проект № 14-39-00044).*

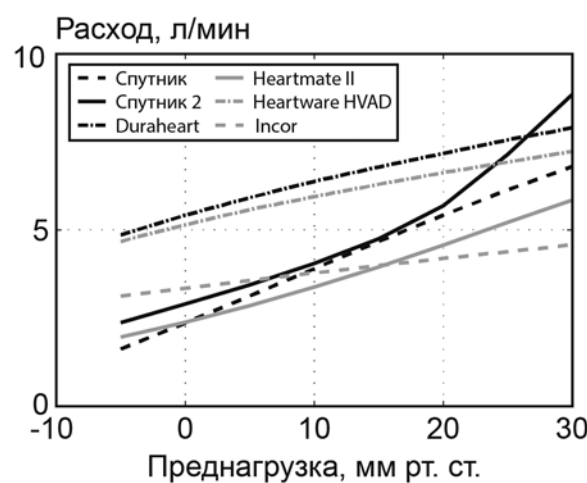
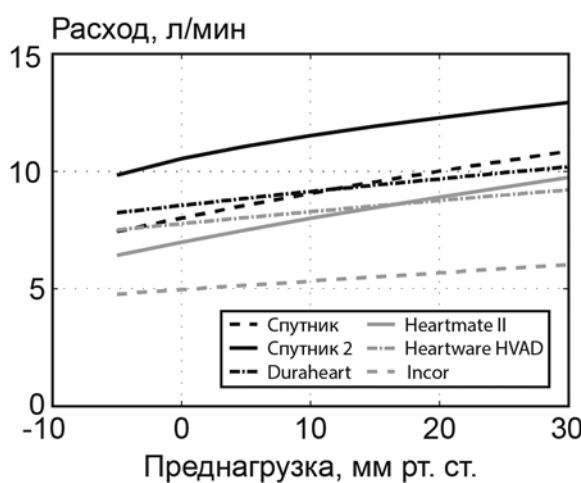


Рис. 2. Зависимость расхода от преднагрузки для шести исследуемых насосов при постнагрузке 60 мм рт. ст. (слева) и 100 мм рт. ст. (справа)

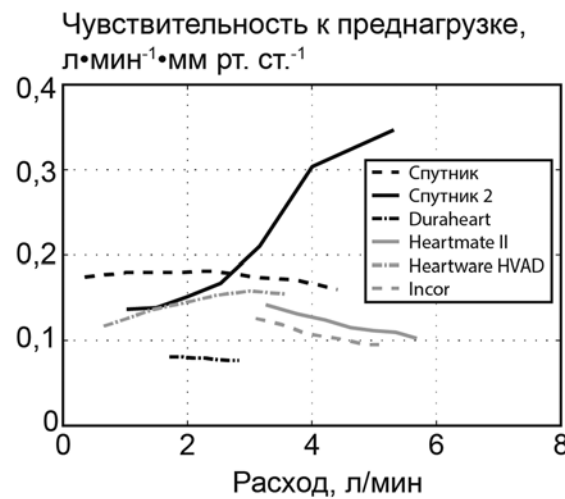
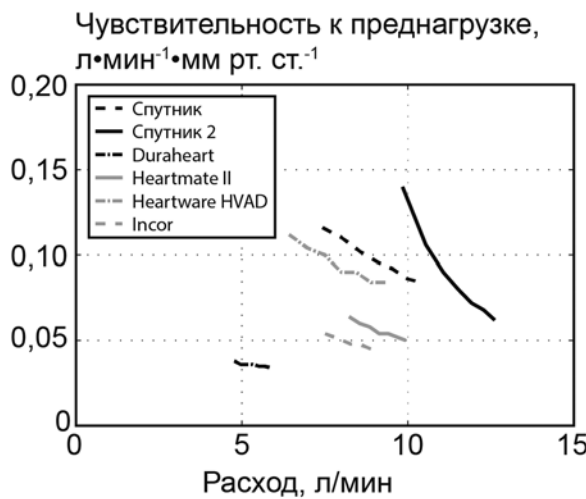


Рис. 3. Зависимость чувствительности к преднагрузке от расхода для шести исследуемых насосов при постнагрузке 60 мм рт. ст. (слева) и 100 мм рт. ст. (справа)

## *Список литературы:*

1. Moazami N., Fukamachi K., Kobayashi M. et al. Axial and centrifugal continuous-flow rotary pumps: A translation from pump mechanics to clinical practice // The Journal of Heart and Lung Transplantation. 2013. Vol. 32. № 1. PP. 1-11.
2. Salamonsen R.F., Mason D.G., Ayre P.J. Response of rotary blood pumps to changes in preload and afterload at a fixed speed setting are unphysiological when compared with the natural heart // Artificial Organs. 2011. Vol. 35. № 3. PP. 47-53.
3. Fukamachi K., Shiose A., Massiello A. et al. Preload sensitivity in cardiac assist devices // The Annals of Thoracic Surgery. 2013. Vol. 95. № 1. PP. 373-380.
4. Gregory S.D., Stevens M., Timms D., Pearcy M. Replication of the Frank-Starling response in a mock circulation loop / IEEE EMBS Conference proceedings. 2011. P. 6825.
5. Khalil H.A., Cohn W.E., Metcalfe R.W., Frazier O.H. Preload sensitivity of the Jarvik 2000 and HeartMate II left ventricular assist devices // American Society for Artificial Internal Organs Journal. 2008. Vol. 54. № 3. PP. 245-248.
6. Petukhov D.S., Telyshev D.V. Analysis of the preload and afterload sensitivity of the Sputnik rotary blood pump // Biomedical Engineering. 2016. Vol. 49. № 6. PP. 362-365.
7. Camboni D., Zerdzitzki M., Hirt S. et al. Reduction of INCOR® driveline infection rate with silicone at the driveline exit site // Interactive Cardiovascular and Thoracic Surgery. 2016 (в печати).
8. Frazier O.H., Gemmato C., Myers T.J. et al. Initial clinical experience with the HeartMate® II Axial-Flow left ventricular assist device // Texas Heart Institute Journal. 2007. Vol. 34. PP. 275-281.
9. Selishchev S., Telyshev D. Ventricular assist device Sputnik: Description, technical features and characteristics // Trends in Biomaterials and Artificial Organs. 2015. Vol. 29. № 3. PP. 207-210.
10. Selishchev S.V., Telyshev D.V. Optimisation of the Sputnik-VAD design // The International Journal of Artificial Organs. 2016 (в печати).
11. Larose J.A., Tamez D., Ashenuga M., Reyes C. Design Concepts and Principle of Operation of the HeartWare Ventricular Assist System // American Society for Artificial Organs Journal. 2010. Vol. 56. № 4. PP. 285-289.
12. Nojiri C., Kijima T., Maekawa J. et al. Recent progress in the development of Terumo implantable left ventricular assist system // American Society for Artificial Organs Journal. 1999. Vol. 45. PP. 199-203.
13. Salamonsen R.F., Mason D.G., Ayre P.J. Response of rotary blood pumps to changes in preload and afterload at a fixed speed setting are unphysiological when compared with the natural heart // Artificial Organs. 2011. Vol. 35. № 3. PP. 47-53.
14. Fukamachi K., Shiose A., Massiello A. et al. Preload sensitivity in cardiac assist devices // The Annals of Thoracic Surgery. 2013. Vol. 95. № 1. PP. 373-380.
15. Moazami N., Fukamachi K., Kobayashi M. et al. Axial and centrifugal continuous-flow rotary pumps: A translation from pump mechanics to clinical practice // The Journal of Heart and Lung Transplantation. 2013. Vol. 32. № 1. PP. 1-11.

Дмитрий Викторович Тельшев,  
канд. техн. наук, доцент,  
кафедра биомедицинских систем,  
Национальный исследовательский университет «МИЭТ»,  
г. Москва, г. Зеленоград,  
e-mail: telyshev@bms.zone

## **Д.С. Петухов**

### **Моделирование и управление расходно-напорными характеристиками имплантируемого насоса крови АВК-Н «Спутник»**

#### **Аннотация**

В рассматриваемой работе проводится верификация ранее предложенного подхода к определению режимов работы роторного насоса крови. Для этого используются статические расходно-напорные характеристики аппарата вспомогательного кровообращения «Спутник», полученные на гидродинамическом стенде в статических условиях. Продемонстрирована возможность использования полученных результатов для реализации стратегии управления роторным насосом, нацеленной на поддержание требуемого уровня расхода и определение сопутствующих режимов работы.

#### **Введение**

В ранее опубликованной работе [1] был предложен подход к оценке изменений в динамике течения крови через роторный насос, который позволяет определить физиологически значимые режимы работы насоса: обратное течение крови через насос (*PBF*), частичная разгрузка (*PPA*) и полная разгрузка желудочка сердца (*PFA*), частичный коллапс (*PVC*) и полный коллапс (*FVC*) желудочка во время сердечного цикла [2]. Динамика течения крови через насос оценивалась с помощью теоретической модели роторного насоса [1].

Цель рассматриваемой работы заключается в экспериментальной проверке данного подхода с использованием статических расходно-напорных характеристик (РНХ) аппарата вспомогательного кровообращения (АВК) «Спутник» [3].

#### **Методы**

Предложенная ранее теоретическая модель роторного насоса крови (РНК) основывается на опубликованных в литературе статических расходно-напорных характеристиках аппарата вспомогательного кровообращения «HeartMate II» и записывается в следующем виде [1]:

$$L \frac{dQ}{dt} = aQ + bQ^2 + cQ^3 + d\omega^2 + eQ\omega^2 + fQ^2\omega + g - H, \quad (1)$$

где  $L$  – параметр, характеризующий влияние инерционности крови в данном насосе и равный  $0,2 \text{ мм рт. ст.} \cdot \text{мин}^2 \cdot \text{л}^{-1}$ ;  $Q$  – расход насоса, л/мин;  $\omega$  – скорость насоса, мин $^{-1}$ ;  $H$  – перепад давлений на насосе, мм рт. ст. Коэффициенты уравнения  $a-g$